

帯板を要素とする応力解析法

— 平板について —

正員 能町純雄*
 正員 松岡健一**
 学生員 ○堀米昇士朗***

1. まえがき

著者等は、先に、平板問題を帯板要素に分割する方法で応力計算を行なうための一方連立差分方程式を設定し、これが正確度の高い一種の有限要素法であることを示したが、ここでは、これを無限カンティレバー板の自由端に、点荷重がある場合に適用する。

無限カンティレバー板を分割せず、一枚の帯板と考えて計算し、この方法が近似度の良い計算方法であることを示したものである。

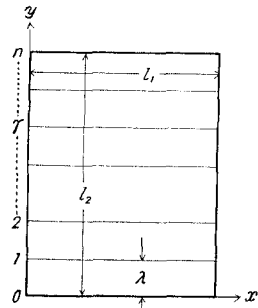


図-1

2. 帯板要素の解式

平板において、図-1のように座標軸 x, y を取り、 y 方向に n 枚の帯板要素に分割する。

平板の基本微分方程式は

$$\frac{\partial^4 w}{\partial x^4} + 2 \frac{\partial^4 w}{\partial x^2 \partial y^2} + \frac{\partial^4 w}{\partial y^4} = \frac{q}{N} \quad (1)$$

$\lambda \ll l_2$ として、 $w = \frac{1}{\sqrt{2\pi}} \int_{-\infty}^{\infty} W_m e^{-imx} dm$ の変換を (1) 式に適用すると、

(3) 式の各項に $\sin \frac{n\pi}{\lambda} y dy$ をかけて、部分積分し、 $\int_0^{\lambda} W_m \sin \frac{n\pi}{\lambda} y dy = S_n [W_m]$ と Fourier 変換し、 $S_n [W_m]$ について整理すると、

$$S_n [W_m] = \left[\frac{\left(\frac{n\pi}{\lambda}\right)}{\left\{\left(\frac{n\pi}{\lambda}\right)^2 + m^2\right\}} \left\{ (-1)^n \left(\frac{d^2 W_m}{dy^2} - m^2 W_m \right)_{\lambda} - \left(\frac{d^2 W_m}{dy^2} - m^2 W_m \right)_0 \right\} - \frac{\left(\frac{n\pi}{\lambda}\right)}{\left\{\left(\frac{n\pi}{\lambda}\right)^2 + m^2\right\}} \left\{ (-1)^n W_{m,\lambda} - W_{m,0} \right\} \right] \quad (4)$$

(4) 式を逆変換して W_m を求めると、

$$W_m = \frac{2}{\lambda} \sum_{n=1}^{\infty} S_n [W_m] \sin \frac{n\pi}{\lambda} y$$

* 室蘭工業大学 教授 工博

** 室蘭工業大学 助教授 工修

*** 室蘭工業大学 大学院

$$= \frac{2}{\lambda} \sum_{n=1}^{\infty} \left[\frac{\left(\frac{n\pi}{\lambda}\right)}{\left\{\left(\frac{n\pi}{\lambda}\right)^2 + m^2\right\}} \left\{ (-1)^n \left(\frac{d^2 W_m}{dy^2} - m^2 W_m \right)_\lambda - \left(\frac{d^2 W_m}{dy^2} - m^2 W_m \right)_0 \right\} \right. \\ \left. - \frac{\left(\frac{n\pi}{\lambda}\right)}{\left\{\left(\frac{n\pi}{\lambda}\right)^2 + m^2\right\}} \left\{ (-1)^n W_{m,\lambda} - W_{m,0} \right\} \right] \sin \frac{n\pi}{\lambda} y \quad (5)$$

ここで, $\eta = y/\lambda$ とすれば,

$$\frac{2}{\lambda} \sum_{n=1}^{\infty} \frac{\left(\frac{n\pi}{\lambda}\right)}{\left\{\left(\frac{n\pi}{\lambda}\right)^2 + m^2\right\}} \sin \frac{n\pi}{\lambda} y = \frac{y \sinh m(2\lambda - y) - (2\lambda - y) \sinh my}{2\lambda^2 m (\cosh 2\lambda m - 1)} = \lambda^2 P_m(\eta) \quad (6)$$

と置くと,

$$-\lambda^2 \left\{ \frac{d^2 W_m}{dy^2} - m^2 W_m \right\}_\lambda P_m(1 - \eta) \quad (10)$$

$$\frac{2}{\lambda} \sum_{n=1}^{\infty} \frac{(-1)^n \left(\frac{n\pi}{\lambda}\right)}{\left\{\left(\frac{n\pi}{\lambda}\right)^2 + m^2\right\}} \sin \frac{n\pi}{\lambda} y = -\lambda^2 P_m(1 - \eta) \quad (7)$$

$P_m(\eta)$, $P_m(1 - \eta)$, $Q_m^*(\eta)$, $Q_m^*(1 - \eta)$ をベルヌーイの多項式に展開して, 微小項を無視すると,

$$\left. \begin{aligned} Q_m^*(\eta) &= \lambda^2 \left\{ m^2 P_m(\eta) - \ddot{P}_m(\eta) \right\} \\ &= f^{(1)}(\eta) - \lambda^2 m^2 f^{(3)}(\eta) \\ Q_m^*(1 - \eta) &= \lambda^2 \left\{ m^2 P_m(1 - \eta) - \ddot{P}_m(1 - \eta) \right\} \\ &= f^{(1)}(1 - \eta) - \lambda^2 m^2 f^{(3)}(1 - \eta) \end{aligned} \right\} \quad (11)$$

又, 更に

$$\frac{2}{\lambda} \sum_{n=1}^{\infty} \frac{\left(\frac{n\pi}{\lambda}\right)}{\left\{\left(\frac{n\pi}{\lambda}\right)^2 + m^2\right\}} \sin \frac{n\pi}{\lambda} y = \frac{\sinh m(\lambda - y)}{\sinh m\lambda} = Q_m^*(\eta) \quad (8)$$

$$\left. \begin{aligned} P_m(1 - \eta) &= f^{(3)}(1 - \eta) \\ P_m(\eta) &= f^{(3)}(\eta) \end{aligned} \right\} \quad (12)$$

$$\frac{2}{\lambda} \sum_{n=1}^{\infty} \frac{(-1)^n \left(\frac{n\pi}{\lambda}\right)}{\left\{\left(\frac{n\pi}{\lambda}\right)^2 + m^2\right\}} \sinh \frac{n\pi}{\lambda} y = -Q_m^*(1 - \eta) \quad (9)$$

ここで,

$$\left. \begin{aligned} f^{(1)}(\eta) &= 1 - \eta, \quad f^{(1)}(1 - \eta) = \eta \\ f^{(3)}(\eta) &= \frac{1}{6} \eta(1 - \eta)(2 - \eta) \\ f^{(3)}(1 - \eta) &= \frac{1}{6} \eta(1 - \eta^2) \end{aligned} \right\} \quad (13)$$

(6) 式, (7) 式, (8) 式, (9) 式を (5) 式に代入すれば,

$$W_m = W_{m,0} Q_m^*(\eta) + W_{m,\lambda} Q_m^*(1 - \eta) - \lambda^2 \left\{ \frac{d^2 W_m}{dy^2} - m^2 W_m \right\}_0 P_m(\eta)$$

(10) 式に (11) 式, (12) 式を代入すると,

$$W_m = W_{m,0} \times f^{(1)}(\eta) + W_{m,\lambda} \times f^{(1)}(1 - \eta) - \left(\frac{d^2 W_m}{dy^2} \right)_0 \times \lambda^2 f^{(3)}(\eta) - \left(\frac{d^2 W_m}{dy^2} \right)_\lambda \times \lambda^2 f^{(3)}(1 - \eta) \quad (14)$$

簡単のために, $d^2 w/dy^2 = -M^*/N$ と置き, (14) 式を逆変換すると, ($N = Eh^3/12(1 - \nu^2)$),

$$w = w_0 f^{(1)}(\eta) + w_\lambda f^{(1)}(1 - \eta) + \frac{M_0^* \lambda^2}{N} f^{(3)}(\eta) + \frac{M_\lambda^* \lambda^2}{N} f^{(3)}(1 - \eta) \quad (15)$$

次に, $d^2 w$ を Fourier 変換し, (10) 式を代入すると,

$$d^2 w = \frac{\partial^2 w}{\partial x^2} + \frac{\partial^2 w}{\partial y^2} \\ = \int_{-\infty}^{\infty} (-m^2) W_m e^{-imx} dm + \int_{-\infty}^{\infty} \left(\frac{d^2 W_m}{dy^2} \right) e^{-imx} dm \\ = \int_{-\infty}^{\infty} \left[\left\{ \frac{d^2 W_m}{dy^2} - m^2 W_m \right\}_0 \left\{ \lambda^2 m^2 P_m(\eta) - \lambda^2 \ddot{P}_m(\eta) \right\} \right. \\ \left. + \left\{ \frac{d^2 W_m}{dy^2} - m^2 W_m \right\}_\lambda \left\{ \lambda^2 m^2 P_m(1 - \eta) - \lambda^2 \ddot{P}_m(1 - \eta) \right\} \right] e^{-imx} dm \\ = \int_{-\infty}^{\infty} \left[\left\{ \frac{d^2 W_m}{dy^2} - m^2 W_m \right\}_0 Q_m^*(\eta) + \left\{ \frac{d^2 W_m}{dy^2} - m^2 W_m \right\}_\lambda Q_m^*(1 - \eta) \right] e^{-imx} dm \quad (16)$$

(16) 式に (10) 式を代入し, $d^2 w/dy^2 = -M^*/N$ と置くと,

$$\begin{aligned}
\Delta w &= \int_{-\infty}^{\infty} \left[\left\{ \frac{d^2 W_m}{dy^2} - m^2 W_m \right\}_0 \left\{ f^{(1)}(\eta) - \lambda^2 m^2 f^{(3)}(\eta) \right\} \right. \\
&\quad \left. + \left\{ \frac{d^2 W_m}{dy^2} - m^2 W_m \right\}_\lambda \left\{ f^{(1)}(1-\eta) - \lambda^2 m^2 f^{(3)}(1-\eta) \right\} \right] e^{-imx} dm \\
&= \left\{ -\frac{M_0^*}{N} + \ddot{w}_0 \right\} f^{(1)}(\eta) + \left\{ -\frac{M_\lambda^*}{N} + \ddot{w}_\lambda \right\} f^{(1)}(1-\eta) + \left\{ -\frac{\dot{M}_0^* \lambda^2}{N} + \ddot{w}_0 \lambda^2 \right\} f^{(3)}(\eta) \\
&\quad + \left\{ -\frac{\dot{M}_\lambda^*}{N} + \ddot{w}_\lambda \lambda^2 \right\} f^{(3)}(1-\eta)
\end{aligned} \tag{17}$$

(15) 式から撓角 θ を求めると、

$$\begin{aligned}
\theta_{0,\lambda} &= \left(\frac{\partial w}{\partial y} \right)_{y=0} = \frac{w_\lambda - w_0}{\lambda} + \frac{2M_0^* \lambda}{6N} + \frac{M_\lambda^* \lambda}{6N} \\
\theta_{\lambda,0} &= \left(\frac{\partial w}{\partial y} \right)_{y=\lambda} = \frac{w_\lambda - w_0}{\lambda} - \frac{M_0^* \lambda}{6N} - \frac{2M_\lambda^* \lambda}{6N}
\end{aligned}$$

即ち、帯板の境界 r 点では、

$$\left. \begin{aligned}
\theta_{r,r+1} &= \frac{w_{r+1} - w_r}{\lambda} + \frac{2M_r^* \lambda}{6N} + \frac{M_{r+1}^* \lambda}{6N} \\
\theta_{r,r-1} &= \frac{w_r - w_{r-1}}{\lambda} - \frac{M_{r-1}^* \lambda}{6N} - \frac{2M_r^* \lambda}{6N}
\end{aligned} \right\} \tag{18}$$

又、剪断力を Q とすれば、

$$Q = -N \left(\frac{\partial^3 w}{\partial y} + \frac{\partial^3 w}{\partial y \partial x^2} \right) = -N \frac{\partial \Delta w}{\partial y}$$

即ち、帯板の境界 r 点では

$$\left. \begin{aligned}
Q_{r,r+1} &= \frac{M_{r+1}^* - M_r^*}{\lambda} - \frac{N(\ddot{w}_{r+1} - \ddot{w}_r)}{\lambda} + \frac{2\lambda(\dot{M}_r^* - N\ddot{w}_r)}{6} + \frac{\lambda(\dot{M}_{r+1}^* - N\ddot{w}_{r+1})}{6} \\
Q_{r,r-1} &= \frac{M_r^* - M_{r-1}^*}{\lambda} - \frac{N(\ddot{w}_r - \ddot{w}_{r-1})}{\lambda} - \frac{\lambda(\dot{M}_{r-1}^* - N\ddot{w}_{r-1})}{6} - \frac{2\lambda(\dot{M}_r^* - N\ddot{w}_r)}{6}
\end{aligned} \right\} \tag{19}$$

3. つり合条件式及び w_r と M_r^* の Fourier 変換

帯板の境界 r 点で撓角が連続していることを考慮すれば (18) 式から

$$\theta_{r,r+1} - \theta_{r,r-1} = 0$$

故に

$$\frac{w_{r+1} - 2w_r + w_{r-1}}{\lambda} + \frac{\lambda}{6N} (M_{r+1}^* + 4M_r^* + M_{r-1}^*) = 0 \tag{20}$$

荷重は r 点に作用するものとし、 P_r であらわせば、帯板の r 点において、剪断力は等しいから (19) 式より

$$Q_{r,r+1} - Q_{r,r-1} = -P_r$$

故に、

$$\frac{M_{r+1}^* - 2M_r^* + M_{r-1}^*}{\lambda} - \frac{N}{\lambda} (\ddot{w}_{r+1} - 2\ddot{w}_r + \ddot{w}_{r-1}) + \frac{\lambda}{6} (\dot{M}_{r+1}^* + 4\dot{M}_r^* + \dot{M}_{r-1}^*) - \frac{\lambda N}{6} (\ddot{w}_{r+1} + 4\ddot{w}_r + \ddot{w}_{r-1}) = -P_r \tag{21}$$

(20) 式、(21) 式をそれぞれ x 方向に Fourier 変換し、更に r 方向に Fourier 定積分変換をすると、

$$\begin{aligned}
& -\frac{1}{\lambda} \left[\sin \frac{i\pi}{n} \left\{ (-1)^k \overline{w}_n - \overline{w}_0 \right\} + D_i S_i [\overline{w}_{r,m}] \right] - \frac{\lambda}{6N} \left[\sin \frac{i\pi}{n} \left\{ (-1)^k \overline{M}_n^* - \overline{M}_0^* \right\} + D_i S_i [\overline{M}_{r,m}^*] \right] \\
& + \frac{\lambda}{N} S_i [\overline{M}_{r,m}^*] = 0
\end{aligned} \tag{22}$$

$$\begin{aligned}
& -\frac{1}{\lambda} \left[\sin \frac{i\pi}{n} \left\{ (-1)^k \overline{M}_n^* - \overline{M}_0^* \right\} + D_i S_i [\overline{M}_{r,m}^*] \right] - \frac{\lambda}{N} \left(\frac{m\pi}{l} \right)^2 \left[\sin \frac{i\pi}{n} \left\{ (-1)^k \overline{w}_n - \overline{w}_0 \right\} + D_i S_i [\overline{w}_{r,m}] \right] \\
& + \frac{\lambda}{6} \left(\frac{m\pi}{l} \right)^2 \left[\sin \frac{i\pi}{n} \left\{ (-1)^k \overline{M}_n^* - \overline{M}_0^* \right\} + D_i S_i [\overline{M}_{r,m}^*] \right] - \lambda \left(\frac{m\pi}{l} \right)^2 S_i [\overline{M}_{r,m}^*] \\
& + \frac{\lambda N}{6} \left(\frac{m\pi}{l} \right)^4 \left[\sin \frac{i\pi}{n} \left\{ (-1)^k \overline{w}_n - \overline{w}_0 \right\} + D_i S_i [\overline{w}_{r,m}] \right] - \lambda N \left(\frac{m\pi}{l} \right)^4 S_i [\overline{w}_{r,m}] + S_i [\overline{P}_{r,m}] = 0
\end{aligned} \tag{23}$$

(22)式, (23)式から $S_\xi[\bar{M}_{r,m}^*]$ と $S_\xi[\bar{w}_{r,m}]$ が求まり, 逆変換により w_r, M_r^* が求まる。

$$\left. \begin{aligned} M_r^*(x) &= \frac{2}{n} \sum_{m=1}^{\infty} \sum_{\xi=1}^{n-1} S_\xi[\bar{M}_{r,m}^*] \sin \frac{i\pi}{n} r \sin \frac{m\pi}{l} x \\ w_r(x) &= \frac{2}{n} \sum_{m=1}^{\infty} \sum_{\xi=1}^{n-1} S_\xi[\bar{w}_{r,m}] \sin \frac{i\pi}{n} r \sin \frac{m\pi}{l} x \end{aligned} \right\} \quad (24)$$

ここで

$$\left. \begin{aligned} M_y &= -N \left(\frac{\partial^2 w}{\partial y^2} + \nu \frac{\partial^2 w}{\partial x^2} \right) \\ &= M_r^*(x) - N\nu \frac{\partial^2 w_r(x)}{\partial x^2} \\ M_x &= \nu M_r^*(x) - N \frac{\partial^2 w_r(x)}{\partial x^2} \end{aligned} \right\} \quad (25)$$

4. 境界条件

(i) 固定端の場合

$$\left. \begin{aligned} \theta_{n,n-1} &= 0 \\ w_n &= 0 \end{aligned} \right\} \quad (26)$$

(ii) 自由端の場合

$$\left. \begin{aligned} M_0^* - N\nu\ddot{w}_0 &= 0 \\ R_0 + \left(\frac{\partial M_{xy}}{\partial x} \right)_0 &= Q_{0,1} \end{aligned} \right\} \quad (27)$$

(iii) 単純支持の場合

$$\left. \begin{aligned} w_0 &= 0 & w_n &= 0 \\ M_0^* &= 0 & M_n^* &= 0 \end{aligned} \right\} \quad (28)$$

5. 数値計算例

図-2の様な半無限カンティレバー板の自由端に, 集中荷重 P が作用する場合の固定端モーメント M_1 と, 自由端のたわみ w_0 を, 分割せず1枚の帯板として計算した。

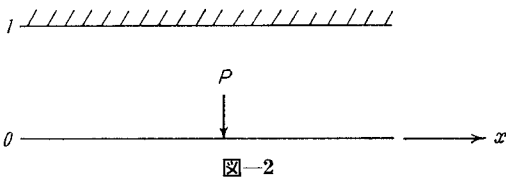


図-2

(18)式, (19)式から

$$\theta_{1,0} = \frac{w_1 - w_0}{\lambda} - \frac{\lambda}{6N} (2M_1^* + M_0^*) \quad (29)$$

$$\left. \begin{aligned} Q_{0,1} &= \frac{M_1^* - M_0^*}{\lambda} - \frac{N(\ddot{w}_1 - \ddot{w}_0)}{\lambda} + \frac{2\lambda(\dot{M}_0^* - N\ddot{w}_0)}{6} \\ &\quad + \frac{\lambda(\dot{M}_1^* - N\ddot{w}_1)}{6} \end{aligned} \right\} \quad (30)$$

(26)式, (27)式から, 境界条件は

$$\left. \begin{aligned} \theta_{1,0} &= 0 \\ w_1 &= 0 \\ M_0^* &= N\nu\ddot{w}_0 \\ -\frac{P}{2} &= Q_{0,1} - \left(\frac{\partial M_{xy}}{\partial x} \right)_0 \\ &= Q_{0,1} - N(1-\nu)\ddot{\theta}_{0,1} \end{aligned} \right\} \quad (31)$$

(29)式, (30)式に(31)式を考慮すれば, (29)式から

$$-\frac{w_0}{\lambda} - \frac{\lambda}{6N} (2M_1^* + N\nu\ddot{w}_0) = 0 \quad (32)$$

(30)式から

$$\left. \begin{aligned} \frac{M_1^* - N\nu\ddot{w}_0}{\lambda} + \frac{N(2-\nu)\ddot{w}_0}{\lambda} - \frac{2N\lambda\ddot{w}_0}{6} \\ + \frac{\nu\lambda}{6} (2N\nu\ddot{w}_0 + \dot{M}_1^*) &= -\frac{P}{2} \end{aligned} \right\} \quad (33)$$

(32)式, (33)式をそれぞれ x 方向に Fourier 変換すると

$$\left(\frac{1}{\lambda} - \frac{\nu\lambda}{6} \alpha^2 \right) \bar{w}_0 + \frac{\lambda \bar{M}_1^*}{3N} = 0 \quad (34)$$

$$\left(\frac{1}{\lambda} - \frac{\nu\lambda}{6} \alpha^2 \right) \bar{M}_1^* + \left\{ \frac{2N(\nu-1)}{\lambda} + \frac{N\lambda(\nu^2-1)}{3} \right\} \alpha^2 \bar{w}_0 = -\frac{\bar{P}}{2} \quad (35)$$

(34)式, (35)式を \bar{M}_1^*, \bar{w}_0 について解き, $\alpha\lambda = \bar{\alpha}, \nu = 0$ と置くと,

$$\left. \begin{aligned} \bar{M}_1^* &= -\frac{\bar{P}\lambda}{2} \times \frac{9}{(\bar{\alpha}^2 + 3)^2} \\ \bar{w}_0 &= \frac{\bar{P}\lambda^3}{2N} \times \frac{3}{(\bar{\alpha}^2 + 3)^2} \end{aligned} \right\} \quad (36)$$

(36)式を逆変換すると

$$\begin{aligned} M_1^* &= -\frac{P}{2} \times \frac{2}{\pi} \int_0^\infty \frac{9}{(\bar{\alpha}^2 + 3)^2} \cos \alpha x d\bar{\alpha} \\ &= -\frac{\sqrt{3}(1+\sqrt{3}x)}{4} e^{-\sqrt{3}x} \times P \end{aligned}$$

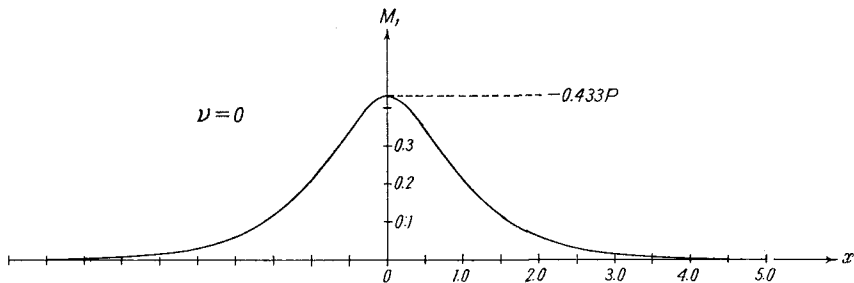


図-3 固定端モーメント M_1

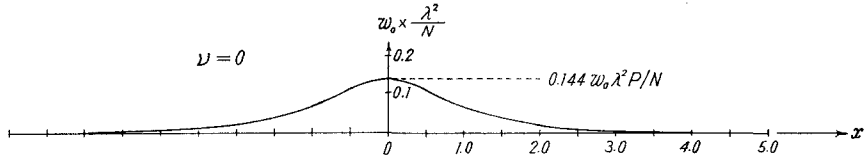


図-4 自由端におけるたわみ w_0

$w=0$ だから、(25)式から $M=M^*$

$$w_0 = \frac{P\lambda^2}{2N} \times \frac{2}{\pi} \int_0^\infty \frac{3}{(\bar{a}^2+3)^2} \cos \alpha x d\bar{a}$$

$$= \frac{\sqrt{3}(1+\sqrt{3}x)}{12} e^{-\sqrt{3}\alpha x} \times \frac{\lambda^2 P}{N}$$

計算結果を図-3、図-4に示す。

$$x=0 \text{ のとき } M)_{\max} = -0.433P$$

$$x=0 \text{ のとき } w_0)_{\max} = (0.144 \times \lambda^2 P)/N$$

6. 結 び

本方法では、 n 分割の場合、 $(n-1)$ 個の有限級数和を求めるのみであり、定積分変換を用いることにより、連立方程式の元数も少なくできる。

又、変断面にも容易に適用できる。

半無限カンティレバー板について、K. Girkmann の解

即ち、 $M_{\max} = -0.465P$ に対して、分割せず、1枚の帯板とみなして計算した場合でも、本方法は $M_{\max} = -0.433P$ で、誤差 6.8% となり、かなり良い近似値を与えることが明らかとなった。

実用上から考えて、この程度の近似値であるならば、充分と考える。

尚、種々の境界条件における他の平板の応力解析計算例は他の機会に発表する。

参 考 文 献

- 1) S. G. Nomachi; A Note on Finite Fourier Transform Concerning Finite Integration.
- 2) Timoshenko, Krieger: Theory of Plates and Shells.
- 3) Karl. Girkmann: Flächentragwerke.